

OPTICAL PHENOMENA IN MESOSCALE DIELECTRIC THREE- AND TWO-DIMENSIONAL STRUCTURES

I.V. MININ¹, O.V. MININ¹

¹Tomsk polytechnic university

During the last decade, new unusual physical phenomena in studies on the optics of dielectric mesoscale particles of arbitrary three-dimensional shape and gratings with Mie size parameter $q \sim 10$ have been discovered. The report provides a brief overview of these phenomena from optics to terahertz, plasmonic and acoustic. We also discuss different particle configurations (isolated or interacting, Janus) and draw a brief overview of the possible applications of such mesoscale structures, in connection with field enhancement, nanoparticles manipulation and super resolution imaging. The presence of a number of interesting applications indicates that a new promising direction has emerged in optics, terahertz, plasmonics and acoustics.

И.В. МИНИН¹, О.В. МИНИН¹

¹Томский политехнический университет

ОПТИЧЕСКИЕ ЯВЛЕНИЯ В МЕЗОРАЗМЕРНЫХ ДИЭЛЕКТРИЧЕСКИХ ТРЕХ- И ДВУМЕРНЫХ СТРУКТУРАХ

В течение последнего десятилетия были обнаружены новые необычные физические явления в оптических исследованиях диэлектрических мезомасштабных частиц произвольной трехмерной формы и решеток с параметром размера Ми $q \sim 10$. В работе дается краткий обзор этих явлений в оптике, терагерцовом, акустическом диапазонах и плазмонике. Мы также обсуждаем различные конфигурации частиц (изолированные или взаимодействующие, Янус) и делаем краткий обзор возможных применений таких мезомасштабных структур для усиления поля, манипуляциями с наночастицами и сверхвысокого разрешения. Наличие ряда интересных приложений свидетельствует о появлении нового перспективного направления в оптике, терагерцовой, акустическом диапазонах и плазмонике.

Точное решение уравнений Максвелла для рассеяния плоской волны на однородной диэлектрической сфере описывается уравнениями Ми [1], включающим параметр размера $q=2\pi R/\lambda$, где R - радиус сферы, λ - длина волны излучения и зависит от n - показателя преломления частицы. Структуры поля с параметром размера $q \sim 10$, лежащие в области между нано- ($q \sim 1$), волновой и геометрической оптикой ($q > 100$), ранее были малоизучены. Однако за последние десять лет в исследованиях по оптике диэлектрических мезоразмерных частиц произвольной трехмерной формы и решеток с параметром $q \sim 10$ были обнаружены новые необычные явления.

К ним относятся:

эффекты, связанные с возбуждением анапольных мод

Термин «ананоль» (что по-гречески означает «без полюсов») был введен в физику элементарных частиц Ю.Б. Зельдовичем [2]. Анаполь – это конфигурация двух моментов, тороидального и электрического дипольного моментов, при которой они колеблются в противофазе друг относительно друга. Анапольное состояние проявляется в деструктивной интерференции мультипольного отклика диэлектрической частицы как в дальней, так и в ближней зоне, соответствующее пространственному разделению электрической и магнитной компоненте поля. Поскольку диаграммы направленности тороидального и электрического дипольного моментов практически идентичны, волны, излучаемые ими в такой конфигурации, взаимно гасят друг друга. В то же время, электромагнитная энергия локализуется в ближней зоне такой структуры.

По-видимому, впервые возможность возбуждения анапольного состояния в метаматериалах была показана в работе [3]. При рассеянии света на одиночной сферической частице с высоким показателем преломления можно наблюдать два типа мод анаполей - электрическую и магнитную. Существенные различия между ними состоят в том, что, во-первых, возбуждение магнитной тороидальной моды может быть реализовано только для больших размерных параметров частицы, которые обычно дают больший вклад, чем остальные возбужденные моды. Во-вторых, эти два типа анаполей имеют

существенные различия в пространственной концентрации энергии - электрический анаполь концентрирует энергию внутри частицы, а магнитный анаполь - вне ее [4]. При этом оба типа анапольных мод могут возбуждаться одновременно, что приводит к образованию гибридных анапольных мод [5]. Однако для сферических частиц этому эффекту препятствуют частичные вклады мод более высокого порядка, которые приводят к образованию нетривиальных конфигураций поля с вихрями и соответствующими особенностями внутри и вне частицы. Более того, [6] возможен режим, когда рассеяние малой ($q \ll 1$) сферической диэлектрической частицы существенно ниже значения, которое следует из предела Рэлея [7]. В тоже время, анаполь может быть сгенерирован с помощью диполя в присутствии малой ($q \ll 1$) сферической частицы с высоким показателем преломления [8].

Возбуждение анапольной моды в диэлектрических частицах имеет практическое применение в нанофотонике, фотонике «на кристалле» для создания новых резонаторов, сенсоров в различных диапазонах частот [9-11].

оптические нановихри, оптические водовороты, оптические сердца

Аномальное рассеяние света обладает множеством интересных и необычных свойств, таких как, например, сложная структура ближнего поля, которая может включать в себя оптические вихри, оптические водовороты и другие особенности в наноразмерной области [12]. Так, термин «оптический водоворот» был введен в работе [13], где было показано, что вблизи плазмонного резонанса металлической частицы образуются оптические вихри нанометрового масштаба, похожие на оптический водоворот. В [14] описаны оптические вихри с характерными размерами сердцевинки значительно ниже дифракционного предела для частиц с малым размерным параметром $q \ll 1$. Было показано, что в точках, соответствующих симметричному квадрупольному резонансу и прямому и обратному рассеянию, в ближнем поле образуются оптические вихревые структуры.

Другим интересным эффектом, связанным с оптическими вихрями, является возможность трехмерного удержания света в субволновом объеме за пределами диэлектрической частицы с размерным параметром $q \sim 10$, известным как фотонная струя. Это связано с образованием вихрей в ближнем поле, а именно – с сжатием поля за счет появления оптических вихрей на границе частицы в области образования фотонной струи [15].

В работе [16] на основе теории Лоренца-Ми было обнаружено, что сферические мезоразмерные частицы с определенными параметрами размера могут стимулировать чрезвычайно большую напряженность поля в сингулярностях и образовывать две горячие точки вокруг полюсов частицы. Так, усиления интенсивности поля в горячих точках соответствуют значениям 438 и 514 для параметров размера тefлоновой сферы $q=22.24159$ и $q=28.64159$, соответственно. Была также обнаружена удивительно большая циркуляция трехмерных векторов Пойнтинга в форме сердца (рис.1), которую невозможно предсказать с помощью обычного двумерного анализа.

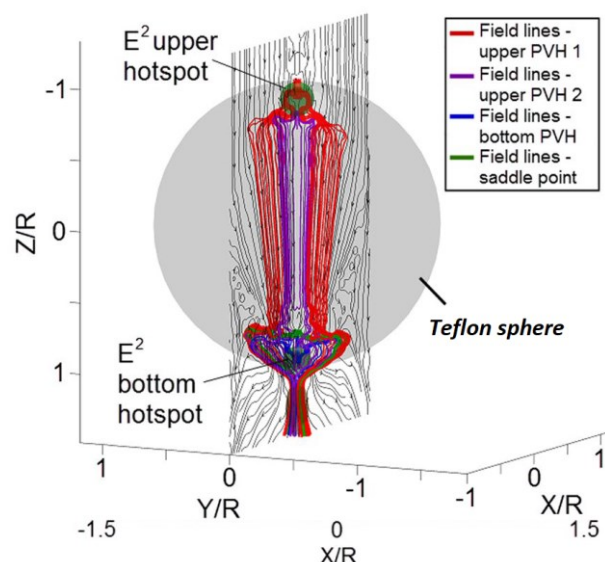


Рис.1. Трехмерный график векторов Пойнтинга, начинающихся в критических точках. Параметр размера частицы $q = 22.24159$. PVH – Горячие точки вектора Пойнтинга [16].

Эти новые физические явления позволяют объяснить такие захватывающие эффекты, как формирование фотонной струи и горячих точек.

Фано резонансы в диэлектрической Ми-резонансной мезофотонике

Решающую роль в возникновении резонансов Фано играют магнитные дипольные резонансы изолированных диэлектрических частиц. Возбужденная на длине волны магнитного резонанса магнитная дипольная мода диэлектрической частицы может быть более сильной, чем отклик электрического диполя, и тем самым вносить основной вклад в эффективность рассеяния. В [17] продемонстрировано, что слабо рассеивающие мезоразмерные диэлектрические сферы могут поддерживать резонансы Фано высокого порядка, связанные с внутренними модами Ми. Эти резонансы, возникающие при определенных значениях размерного параметра, дают коэффициенты усиления напряженности поля порядка 10^4 – 10^7 . В связи с этими «суперрезонансами» продемонстрировано появление магнитных фотонных струй и гигантских магнитных полей для частиц с высоким (порядка 4 и выше) показателем преломления, которые могут быть привлекательными для многих фотонных приложений.

В [18] был обнаружен эффект сверхусиления фокусировки в сферических частицах с определенными параметрами размера и показателем преломления меньше 2, который обеспечивает примерно в 4000 раз более сильную напряженность поля, чем для падающего излучения и демонстрируют возможность преодоления дифракционного предела, несмотря на высокую чувствительность к величине потерь в материале частицы. Такие сферические частицы имеют уникальное расположение горячих точек на полюсах сферы и обусловлены специфическим поведением внутренних мод Ми. При этом при возрастании потерь в материале сферической частицы, максимальная интенсивность электрического и магнитного полей сравниваются для параметра размера $q=22.24159$. Для значения параметра $q=28.64159$ интенсивность магнитного поля примерно в 2 раза выше, чем электрического поля в условиях отсутствия потерь в материале частицы. При этом размер горячих точек меньше дифракционного предела и может быть даже меньше, чем в идеальном случае материала частицы без потерь.

Эффект субдифракционной локализации излучения в двумерной фазовой решетке основан на явлении аномальной аподизации, которому способствуют резонансы Фано,

возбуждаемые в мезомасштабной структуре из-за эффективного взаимодействия управляемых резонансов Фабри – Перо и структурных Ми-резонансов [19].

В результате аподизации ступеньки фазовой решетки внутри фазовой ступени образуется открытая резонансная полость с частично отражающими стенками. При определенных параметрах решетки внутри прямоугольной ступеньки возбуждается магнитный мультиполь, составляющая поля которого характеризуется множеством отдельных локальных максимумов, равномерно распределенными вдоль стенок резонатора. В результате вблизи внутренней и внешней поверхностей аподизирующей маски, а также в вершинах ступеньки решетки возникают оптические вихри. Внутри области вихрей входящие оптические потоки направляются и циркулируют в противоположных направлениях вблизи и вокруг внутренних краев фазовой ступеньки. Если для определенного геометрического параметра маски и шага решетки выполняются условия фазового синхронизма встречных оптических волн, то конструктивная интерференция волн приводит к резонансной моде Ми (рис.2).

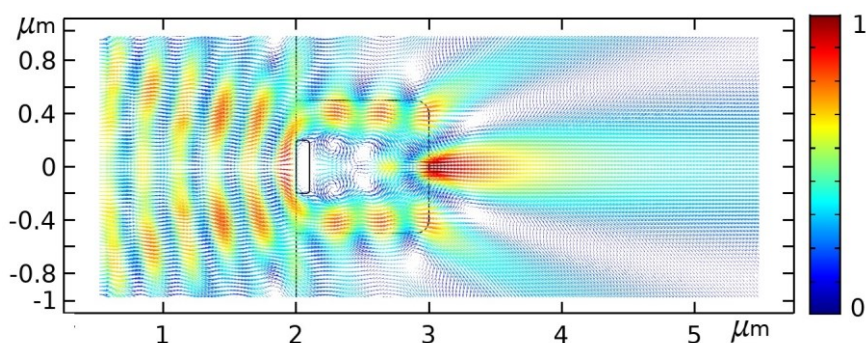


Рис.2. Распределение вектора Пойтинга и оптические вихри в фазовой ступеньке мезоразмерной дифракционной решетке с аподизацией.

Применительно к эффекту Тальбота, описанный эффект позволяет увеличить пространственное разрешение до субдифракционного (около $\lambda/4$) и обеспечить высочайший оптический контраст (~ 22 дБ) [20], что важно для ряда приложений, включая литографию. Позднее похожие подходы независимо начали рассматриваться другими авторами [21].

фотонные наноструи

Формально термин «фотонная наноструя» был введен в [22], хотя этот эффект был известен ранее – см., например, [23-26]. Из теории рассеяния света на цилиндрической или сферической частицах известно (см., например, [23,27]), что оптическое поле как внутри, так и вне слабо поглощающей частицы, освещенной световой волной, характеризуется наличием пространственных зон фокусировок, называемых внутренними и внешними фокусами. Их появление обусловлено кривизной поверхности сферической частицы, приводящей к соответствующим деформациям падающего на частицу фазового волнового фронта. Сферическая (или цилиндрическая) частица, таким образом, выполняет роль рефракционной линзы, фокусирующей световое излучение в пределах субволнового объема [28]. При этом, если частица находится в поле сходящейся волны, то область фокусировки смещается в сторону центра частицы и даже может находиться внутри нее [29]. Более того, при облучении частицы структурированными полями, например, вихревым пучком с круговой поляризацией, в формируемой фотонной струе наблюдается обратный поток энергии в фокальной плоскости, зависящей как от топологического заряда оптического вихря, так и от параметра размера сферических частиц [30].

Взаимодействие аберрированных участков волнового поля внутри диэлектрической частицы носит сложный характер и зависит, в частности, от формы частицы, характеристик ее материала, размерного параметра Mi частицы и т. п. При определенном соотношении параметров частицы (оптический контраст материала, размерный параметр частицы) один из внутренних фокусов частицы перемещается к ее внешней границе, формируя вблизи теневой поверхности и вне частицы сильно локализованное поле, названное фотонной струей.

В [22] упоминалось, что «фотонная наноструя ... может распространяться на расстояние, превышающее длину волны λ , после выхода из диэлектрического микроцилиндра или микросферы без потерь с диаметром более 2λ [31]. Характерной особенностью фотонной струи является то, что перетяжка пучка может быть меньше классического дифракционного предела [28] - около трети длины волны падающего излучения. Отметим, что такой же размер перетяжки в области фокуса достигается у плоской дифракционной оптики с фокусным расстоянием менее длины волны [32,33]. Однако в общем случае поперечный размер фотонной струи может быть как меньше, так и больше дифракционного предела.

Стоит отметить, что фотонная струя формируется в области пространства, где существенную роль играют эффекты рассеяния в ближней зоне (затухающие, эванесцентные поля). Поэтому, в частности, для частиц с размерами порядка длины волны излучения согласие между приближением геометрической оптики и строгой электромагнитной теорией менее точное, поскольку эванесцентное поле не учитывается в геометрической оптике [34]. Обычно эта ближняя область находится на расстояниях, не превышающих нескольких диаметров частиц, и характеризуется заметным вкладом радиальной составляющей оптического поля. В свою очередь, это условие накладывает ограничения на диапазон размеров диэлектрических частиц, который должен быть порядка нескольких длин волн и даже равняться длине волны излучения [15,35], т.е. иметь мезомасштабные размеры. Из этого, в частности, следует, что конкретное значение длины падающей волны не является критическим, пока выполняются условия мезомасштабности.

В [36,37] впервые было показано, что фотонная струя может быть сформирована несферическими и несимметричными диэлектрическими мезомасштабными частицами произвольной формы как в режиме пропускания, так и в режиме отражения. Это позволяет лучше понять свойства фотонных струй и возможные стратегии настройки таких волновых структурированных пучков. С другой стороны, не осесимметричность и несферичность формы частицы приводит к появлению и некоторых новых оптических эффектов, которые также будут кратко рассмотрены ниже.

На сегодня спектр применений эффекта фотонной струи достаточно широк. Для оптических манипуляций этот эффект начал использоваться с начала 2000 годов [38], их можно также использовать для обнаружения и манипулирования биологическими объектами [39], биомедицине [40, 41], микро- и нано- манипуляций [42], оптических ловушках [43,44], Раман спектроскопии [45,46], и многих других.

Фотонная струя: электрическая или магнитная?

Для диэлектрических частиц с большими параметрами размера интересно отметить, что фотонная струя является скорее «магнитной», чем «электрической» струей [15]. То есть, когда формируется фотонная струя, усиление магнитного поля может быть намного больше, чем то, которое соответствует электрическому полю. В качестве примера на рис. 3 [15] показано распределение напряженности электрического поля E^2 вместе с напряжением магнитного поля H^2 и модулем вектора Пойнтинга S для сферы с $n \sim 1,5$ и параметром размера $q \sim 10$. Видно, что максимальная интенсивность магнитного поля в

области локализации излучения примерно в 2 раза выше, чем интенсивность электрического поля.

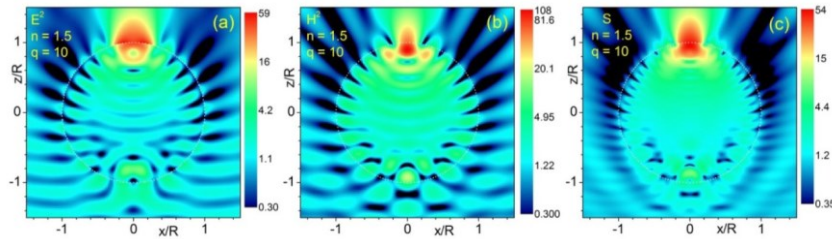


Рис. 3. Распределение интенсивности в плоскости $\{x-z\}$ (a) электрического поля E^2 , (b) магнитного поля H^2 и (c) модуля вектора Пойтинга S для сферической частицы с показателем преломления $n = 1.5$ и параметром размера $q = 10$ [15].

Обычно электрические дипольные переходы на $10^4 \sim 10^5$ сильнее, чем магнитные дипольные переходы. Однако в отличие от плазменных частиц, первый резонанс диэлектрических сферических частиц является магнитодипольным резонансом и имеет место, когда длина волны света внутри частицы равна диаметру $\lambda/n \sim 2R$. При этом условии поляризация электрического поля антипараллельна на противоположных границах сферы, что приводит к сильной связи с циркуляционными токами смещения, в то время как в середине магнитное поле колеблется вверх и вниз [47].

Следовательно, проявление усилений магнитного поля, ранее обнаруженных для наночастиц с высоким показателем преломления [48,49], возможно и для частиц с относительно малым показателем преломления $n < 2$, если их размер больше длины волны ($R > \lambda$), что характерно для области существования фотонной струи [15,50]. Это свойство можно использовать, например, для усиления излучения, характеризуемого магнитодипольным переходом [51].

эффекты генерации гигантских магнитных полей,

Новый физический эффект - оптический суперрезонанс в мезоразмерных диэлектрических сферах, обусловленный резонансом Фано высокого порядка [18,52], может стать новым способом достижения сверхвысоких магнитных полей. Это обусловлено следующими факторами. Важной особенностью резонансов Фано высокого порядка в таких частицах является высокая степень локализации поля, превышающей дифракционный предел, как внутри частицы, так и на ее поверхности. Последнее связано с образованием областей с высокими значениями локальных волновых векторов, аналогично эффектам суперосцилляции [53,54]. Согласно этой теории, локальный волновой вектор можно понимать как локальный градиент фазы $K_l = \nabla \Phi = \nabla E/E$. Высокие значения K_l могут быть созданы, например, в оптике свободного пространства, включая вихри и узлы. Это следует, например, из принципа неопределенности Гейзенберга $\Delta E \Delta t \geq \hbar/2$, который в терминах числа фотонов и их фазы можно переформулировать как $\Delta N \Delta \Phi \geq 1/2$. Дифференцируя эту формулу, можно найти, что $K_l \sim \sqrt{N}/N^2$, т.е. высокие локальные волновые числа могут быть достигнуты в окрестности оптического вихря, представляющего собой сингулярность (точку нулевой интенсивности) с фазой циркулирующего вокруг этой точки поля [52].

В диэлектрических мезоразмерных частицах оптические вихри возникают, когда размерный параметр q превышает некоторое значение, зависящее от его показателя преломления [15]. Соответственно, кольцевые токи в соответствии с законом Био-Савара, создают магнитные поля. Внутри диэлектрической частицы магнитное поле может быть

усилено более, чем на 4 порядка, что может дать значения магнитной индукции порядка 10^5 Тл, а это близко к межатомным магнитным полям [52]. Заметим, что такой уровень магнитного поля сравним с магнитно-кумулятивными генераторами [55,56]. При таких полях можно ожидать эффекты магнитной нелинейной оптики, где изменение показателя преломления вызывается чисто магнитными эффектами. Однако такая магнитная нелинейная оптика может быть реализована при выполнении двух условий: 1) диссипация достаточно мала и 2) магнитный нелинейный отклик значительно превышает электрический нелинейный отклик из-за нелинейности $\varepsilon=\varepsilon(E)$ [52].

Рассмотренные эффекты суперрезонансов Фано высокого порядка являются привлекательной основой для таких перспективных направлений, как, например, усиление эффектов поглощения, абляция, вызванная магнитным давлением и ряд других.

тераструи

Термин «тераструя» был введен в работе [57] применительно к эффекту фотонной струи в СВЧ и/или терагерцовом диапазоне. Основное отличие от оптики заключается в том, что в ТГц диапазоне существенную роль играет коэффициент поглощения материала частицы, который может превышать оптический на несколько порядков и в отличие от оптики частица почти всегда не может быть рассмотрена как слабопоглощающая. Отметим, что первое экспериментальное подтверждение эффекта фотонной струи было выполнено в СВЧ диапазоне [58].

Диэлектрические кубические частицы имеют определенные преимущества перед сферическими частицами [35]: генерируемая сферическими частицами фотонная струя более эллиптическая, чем у кубических частиц при линейной поляризации; с увеличением размера кубоида и диаметра сферы длина струи увеличивается для кубоидов и уменьшается для сфер; кубоиды позволяют формировать фотонные струи с минимальными размерами частицы от 0,5 длины волны, а сферические - с минимальным диаметром более длины волны.

В работе [57] было продемонстрировано, что при уменьшении показателя преломления трехмерных и двумерных кубоидов, тераструя («теранож» в двумерном случае) перемещается изнутри наружу структуры, обеспечивая субволновой размер перетяжки пучка и высокую интенсивность, до 10 раз превышающую интенсивность освещающего пучка. При этом свойства диэлектрической кубической частицы как аналога плоской линзы с размерами порядка длины волны сохраняются при наклонном падении плоской волны как на основной частоте, так и на кратных гармониках [59].

Более того, аналогично оптическому диапазону [28], была также продемонстрирована возможность усиления обратного рассеяния с увеличением на $\sim 1,53$ дБ и ~ 10 дБ для металлических частиц диаметром $d_1=0,1\lambda$ и $d_2=0,25\lambda$ соответственно, помещенных в область тераструи [57].

Среди интересных областей применения эффекта тераструи можно отметить повышение чувствительности ТГц детекторов за счет локализации падающего на них излучения в субволновом объеме [60-62], повышение чувствительности открытых СВЧ резонаторов [63], использование мезоразмерных частиц, генерирующих тераструю, в качестве диэлектрической малогабаритной антенны в перспективных системах ТГц связи, в том числе 5G-6G [64,65] и другие.

аномальный сдвиг фазы Гои

В проблеме получения сверхразрешения дополнительная информация о фазовых полях может помочь снять некоторые ограничения. Фазовый сдвиг Гои [66] был исследован для сферических частиц с параметром размера $q=9.34$ [67] и $q=21.4$ [68]. Было показано, что наблюдаемый фазовый сдвиг вдоль оси распространения фотонной струи

представляет собой комбинацию классического сдвига фазы Гои и фазового сдвига, вызванного преломлением на сферической частице.

В тоже время, для кубических частиц с параметром размера $q=3$ (размер грани куба равен длине волны), формирующих фотонную струю, было обнаружено, что модель фазового сдвига Гои, основанная на фокусированном гауссовом пучке, не может объяснить фазовый сдвиг Гои фотонной струи [69]. Поэтому механизм формирования локализованной области излучения на основе тераструи (фотонной струи) отличается от такового для классической линзы или сферической частицы.

Более того, в [70] было сообщено об обнаружении аномальной асимметрии фазового сдвига Гои в фотонной струе при наклонном падении ТМ-волны на диэлектрический кубик. Эта асимметричная фазовая аномалия Гои вызывает неизвестный ранее угол отклонения между нормалью фазового распределения фазы Гои и направлением распространения падающего пучка в месте, где формируется фотонная струя. Этот угол отклонения экспоненциально уменьшается по мере распространения волн на расстояние в несколько длин волн.

Понимание таких фазовых аномалий позволяет локализовать излучение в пространственных областях, меньших, чем классический дифракционный предел разрешения и может найти применение в микроскопии, оптическом захвате и манипулировании наночастицами, интерферометрии [71].

эффекты аномальной аподизации

Известно, что аподизация амплитудной маской центральной части линзы уменьшает поперечный размер пучка в фокусе, однако интенсивность в фокусе падает из-за блокировки части падающей волны [72]. Эта же тенденция сохраняется и для сферических мезоразмерных частиц [73,74].

Эффект аномальной аподизации (уменьшение размера перетяжки фотонной струи при увеличении ее интенсивности) был впервые обнаружен для мезоразмерных частиц различной несферической формы [75]. Явление заключается в том, что введение маски на облучаемой стороне частицы приводит к меньшему количеству оптических вихрей около теневой поверхности этой частицы. Аподизирующая маска также увеличивает эффективную числовую апертуру частицы-линзы, что эквивалентно увеличению показателя преломления материала частицы [76-78].

Контроль тангенциальной компоненты

Управлять параметрами фотонной струи возможно за счет контроля тангенциальной составляющей электрического поля вдоль боковой поверхности диэлектрической частицы, например, с помощью металлической маски, размещенной вдоль ее боковых поверхностей [79,80]. При наличии металлических экранов вдоль боковой поверхности диэлектрической частицы возникает отраженная волна, так как соответствующая составляющая поля исчезает в области контакта. В результате отражения амплитуда тангенциальной составляющей электрического поля увеличивается в направлении, противоположном направлению распространения волны, и ослабевает в направлении распространения волны [79]. Эти эффекты приводят к смещению области концентрации плотности потока мощности поперек и в направлении распространения волны [81]. Это позволяет контролировать фокусное расстояние фотонной струи, ее протяженность вдоль направления распространения излучения и уменьшать размер перетяжки в области фокуса. С другой стороны, наличие экрана с одной боковой стороны частицы позволяет формировать фотонные крючки и осуществлять угловое сканирование фотонной струей [80].

Волноводные системы на основе массива диэлектрических частиц

Известно, что первый экспериментальный образец линзового волновода с набором идентичных линз был разработан Губо и Собелом еще в 1961 году [82,83]. В оптике эффекты периодической фокусировки света изучались для цепочек слабопоглощающих сфер диаметром более 2 мкм (размерный параметр $q > 12$) и с показателем преломления более 1.3. Было показано, что эти эффекты обусловлены существованием так называемых фотонных мод, индуцированных фотонными струями, с периодом, примерно равным диаметру двух сфер, расположенных вплотную к друг другу [84-86].

В [87] был предложен другой тип волновода, состоящего из цепочки трехмерных кубических мезоразмерных частиц (с размером грани, равным длине волны), разделенных воздушным зазором. Было продемонстрировано существование фотонных периодически фокусированных мод, индуцированных тераструями вдоль цепочки таких частиц. Более того было показано, что предложенная структура имеет надежные характеристики и мало чувствительна к потерям в материале частиц (вплоть до значения тангенса потерь около 0.1, что примерно на 5-6 порядков больше, чем в оптике) благодаря тому, что пространственное разрешение тераструктур вблизи теневой поверхности каждого куба не сильно ухудшается при существенном увеличении потерь.

По сравнению с оптическим волноводом на основе сферических частиц, в волноводе на основе кубических частиц отсутствует требование контакта микросфер между собой. Для сферических частиц же контакт может быть реализован с помощью микросварки, но это приводит к ухудшению свойств волновода из-за микротрещин, образующихся за счет оплавления материала в области контакта частиц [88,89].

Эффекты периодической фокусировки света также наблюдались для цепочки мезоразмерных частиц с показателем преломления около 1 [90]. В данном случае реализуется волновод с градиентным показателем преломления, то есть показатель преломления постепенно уменьшается от его центра к краю волновода из-за специфической формы частиц (сфера, куб) при постоянном показателе преломления внутри частиц (рис.4). При этом хотя падающее излучение распространяется с одинаковой скоростью на входе в волновод, время достижения выхода из волновода разное, так как скорость распространения волны на краю волновода больше, чем в центре, что приводит к модальной дисперсии. Фактически, такой тип волновода можно рассматривать как аналог волновода с градиентным (параболическим) (GRIN) законом изменения показателя преломления [91,92].

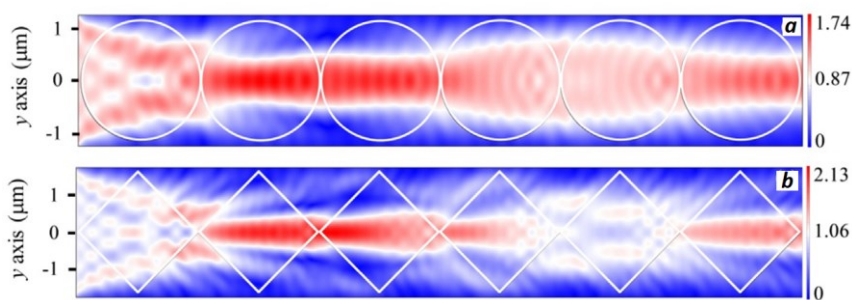


Рис.4. Волновод на основе цепочки (а) сферических ($n=0.87$) и (б) кубических ($n=1.06$) частиц.

Другая интересная возможность развития упомянутых приложений связана с использованием мезоразмерных частиц, легированных оптически нелинейными и/или активными материалами, что должно приводить к очень интересным оптическим параметрическим и лазерным эффектам в таких структурах, а также может быть использовано для повышения разрешения изолированной частицы в дальней зоне.

периодически фокусированные моды, индуцированные Тальбот эффектом

Эффект Тальбота [93] является одним из основных дифракционных явлений, который возникает для периодических диэлектрических структур при освещении источником когерентных волн. Например, фокусы матрицы сферических микролинз периодически самоизображаются в плоскостях Тальбота, а количество фокусов умножается в дробных плоскостях Тальбота [94]. Однако до недавнего времени было неясно, справедлив ли классический эффект Тальбота для системы из массива мезоразмерных частиц. Учитывая, что диэлектрические частицы, формирующие фотонные струи, обеспечивают более высокий уровень интенсивности в фокусах с размером пятна вплоть до субволнового, была рассмотрена возможность формирования эффекта Тальбота на основе матрицы мезоразмерных частиц. При этом в качестве демонстраций возможности метода, исследования проводились в терагерцовом диапазоне на длине волны $\lambda=0.5$ мм с иммерсией частиц диаметром 2 длины волны в диэлектрическую среду с показателем преломления 1.43 и тангенсом потерь 0.002 (рис.5).

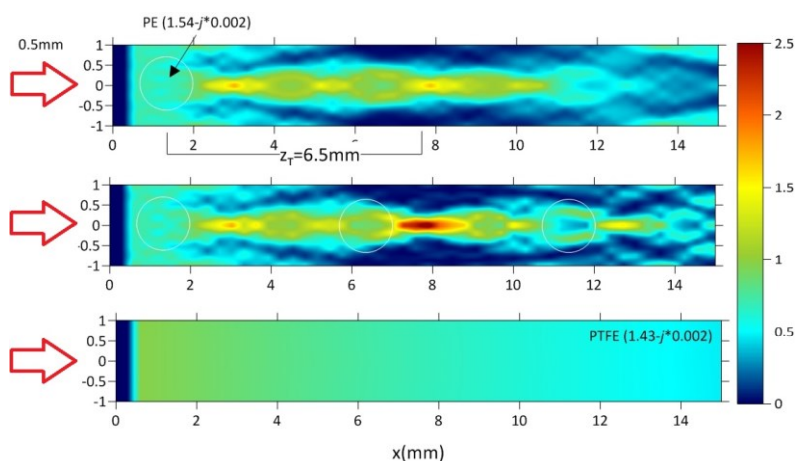


Рис.5. периодически фокусированные моды, индуцированные Тальбот эффектом: дробный Тальбот эффект от решетки сферических частиц, пространственный волновод с размещением сферических частиц в Тальбот-фокусах.

Дробный эффект Тальбота хорошо виден на верхней картинке - фокусы дифракционно - ограниченных пятен повторяются на расстояниях около $2/3$ от классического расстояния Тальбота $Z_T=2d^2/\lambda$. Однако интенсивность в фокусах падает с ростом расстояния распространения пучка. Симуляции показывают, что при увеличении показателя преломления частицы наблюдается сдвиг на половину периода в изображении Тальбота. Это, по-видимому, новое явление, о котором ранее не сообщалось в исследованиях этого эффекта на основе матрицы классических сферических линз. Если по аналогии с волноводом, описанном выше, в каждый из фокусов разместить диэлектрическую частицу, то интенсивность излучения в дальних фокусах и контрастность удастся повысить по сравнению с матрицей одиночных частиц во входной плоскости. В тоже время, отличие данной концепции состоит в том, что в волноводе на основе линейной матрицы частиц периодичность поля создается фотонной струей, а в данном случае – за счет Тальбот эффекта. Таким образом, концепция пространственного волновода на основе матриц диэлектрических частиц позволяет увеличить расстояние распространения матрицы локализованных пучков в поглощающей среде с разрешением вплоть до превышающим дифракционный предел на основе фотонных периодически фокусированных мод, индуцированных Тальбот эффектом и поддерживаемых фотонными струями вдоль цепочки мезомасштабных трехмерных диэлектрических частиц, разделенных зазорами с материалом среды.

Фотонная наноструя с зеркальным отражением

Фотонная наноструя с зеркальным отражением - это особый тип электромагнитной субволновой пространственной локализации излучения в ближнем поле, возникающий в результате конструктивной интерференции прямых и распространяющихся назад волн, сфокусированных прозрачной диэлектрической мезоразмерной частицей, расположенной рядом с плоским отражающим зеркалом и направлена навстречу направлению падения волнового фронта [36,95].

Например, выбором толщины диэлектрической частицы, расположенной на металлическом экране, удается сформировать фотонную струю с эллиптичностью 1,07, т. е. почти осесимметричный фокус при линейной поляризации. Также было показано, что возможно управлять пространственным положением фотонной струи вплоть до ее параллельности плоской поверхности металлического экрана путем поворота всей структуры относительно направления падения излучения [36, 95]. Такой режим формирования структурированных полей возможен для диэлектрических мезоразмерных частиц различной формы, в том числе полусферической [96].

Была также продемонстрирована применимость принципа Бабине дополнительных дифракционных структур для формирования фотонных струй в режиме отражения в ближнем поле [97]. Такие структуры открывают больше возможностей для создания фотонных струй с требуемыми и управляемыми свойствами, такими как фокусное расстояние, ширина, длина, максимальная напряженность поля и эллиптичность струй.

В тоже время, режим формирования фотонных струй в отраженной от преграды волне позволяет обойти ряд ограничений на показатель преломления материала частицы, связанного с областью существования эффекта фотонной струи в проходящем излучении [15]. В [98] было продемонстрировано, что фотонная струя может формироваться в направлении, противоположном направлению распространения падающей волны при использовании частицы с показателем преломления, близким к единице, расположенной на диэлектрической (с высоким показателем преломления) или металлической подложке. При этом может быть достигнута ширина пучка менее дифракционного предела. Анализ распределений вектора Пойтинга показал, что это явление связано многократной циркуляцией потока мощности в частице и ее окрестностях. Следует отметить, что выбором контраста показателя преломления частицы и подложки возможно регулировать параметры области локализации излучения и ее положение одновременно в отраженной и прошедшей волнах. Для примера на рисунке 6 показаны распределения интенсивности электрического поля при падении плоской волны на сферическую частицу с показателем преломления около 1 ($n=1.077$), расположенной на диэлектрической подложке с показателем преломления $n=3.83$ и $n=4.08$ соответственно. Если в первом случае наблюдается фотонная струя в отраженной волне, промодулированная стоячей волной, и слабая область локализации в прошедшей волне, то во втором случае – рефракционная фокусировка в прошедшей волне и слабая локализация в отраженной волне.

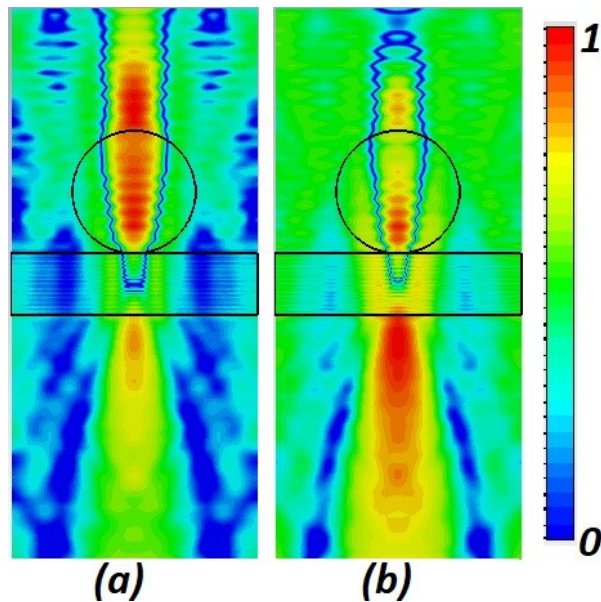


Рис.6. Формирование фотонной струи для сферы с $n=1.077$, расположенной на диэлектрической подложке: $n=3.83$ (a) и $n=4.08$ (b)

Другое уникальное свойство фотонных струй в режиме «на отражение» заключается в ее пространственной субволновой локализации и высокой интенсивности при использовании мезоразмерных частиц с относительно высоким контрастом показателя преломления, когда обычная фотонная наноструя не формируется ($n > 2$) [99]. Фактически, в этой конфигурации осуществляется двойная фокусировка плоской падающей волны с помощью частицы, расположенной вблизи с плоским металлическим зеркалом. Эта возможность преодолеть фундаментальное ограничение максимально допустимого контраста показателя преломления материала частицы обусловлено тем, что при зеркальном отражении излучения от зеркала и последующей фокусировке диэлектрической частицей в ней образуются крупномасштабные оптические вихри с встречно-циркулирующей оптической энергией, вносящее вклад в экстремальную концентрацию оптического поля.

На основе такой фотонной струи была предложена физическая концепция оптической ловушки [99], в которой обеспечивается вдвое более высокая устойчивость к броуновскому движению захваченной наночастицы по сравнению с обычными ловушками на основе фотонных струй [100]. При этом модуляция фотонной струи стоячей волной при необходимости может быть исключена за счет управления интерференционными эффектами [101].

Управление свойствами пространственного распространения узких световых пучков, такими как расходимость, фокусировка, являются основными задачами в оптике и фотонике. Другой интересный эффект формирования фотонных струй в рассматриваемом режиме состоит в том, что тонкая прямоугольная структура диэлектрик-металл может выполнять функцию плоского фокусирующего зеркала [36, 37, 102]. Новый тип планарного устройства без заранее определенной оптической оси [102] позволяет осуществить фокусировку в ближней зоне, где структурированный отраженный пучок демонстрирует бездифракционное распространение на расстоянии длины фотонной струи и может значительно повысить применимость структурированных фотонных систем для управления распространением светового луча в мезомасштабных фотонных схемах. Отметим, что данный тип ближнепольного фокусирующего плоского зеркала существенно проще ранее рассмотренного в [103, 104] плоского фокусирующего зеркала с поперечной инвариантностью и основан на других физических принципах.

эффекты преодоления дифракционного предела и повышения качества изображения

Возбуждение режима шепчущей галереи в микросфере приводит к увеличению разрешения до $\sim 0.25\lambda$ [105]. В [52] было продемонстрировано, что на резонансной частоте, соответствующей параметру размера сферической частицы $q=26.94163$ может быть достигнут размер фокальной горячей точки около $0.22\lambda \times 0.37\lambda$ для линейной поляризации падающего поля при интенсивности более 43000. При этом достигаемые параметры фокусировки очень чувствительны к параметру размера сферической частицы – изменение размерного параметра q на 10^{-4} приводит к уменьшению интенсивности на 4 порядка. Аналогичный эффект резонансного сверхразрешения ранее был рассмотрен в [106]. Интересно отметить, что близкое по размеру фокальное пятно $0.27\lambda \times 0.6\lambda$ для линейной поляризации падающего излучения можно получить в нерезонансном режиме для особой конфигурации зонной пластины [107] с малым уровнем боковых максимумов, но при максимальной интенсивности поля в 1000 раз меньшей (рис.7).

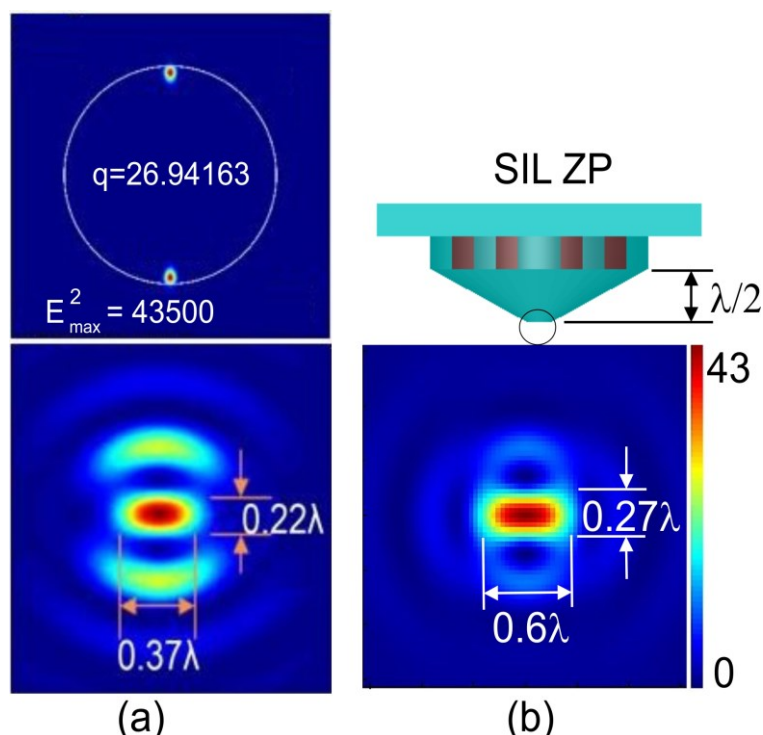


Рис.7. Формирование области локализации излучения для сферической частицы на резонансной частоте и зонной пластины с иммерсионным конусом на нерезонансной частоте при линейной поляризации.

Эффекты генерации горячих точек на полюсах сферических частиц могут быть применены для обнаружения нано-частиц, включая вирусы, когда их нахождение в области горячей точки должно приводить к сдвигу резонансной частоты.

Отметим также, что переход от обычных материалов к метаматериалам позволяет для диэлектрических частиц с размером порядка длины волны добиться суперразрешения - размера перетяжки фотонной струи (тераструи) вплоть до 0.2 длины волны [108], что гораздо меньше классического дифракционного предела. В тоже время достичь эффекта уменьшения размера перетяжки фотонной струи возможно и за счет применения градиентных материалов частицы [109]. Данные эффекты могут помочь решить некоторые аспекты оптической метрологии сверхвысокого разрешения [110].

В [111] обсуждается обнаруженный новый механизм локализации поля в мезоразмерных Янус [112] частицах на основе усеченных сфер или цилиндров. Показано, что электрическое поле на плоской поверхности таких частиц имеет резкие резонансы в зависимости от глубины удаленного сегмента сферы или цилиндра. Эти резонансы связаны с возбужденными волнами шепчущей галереи (МШГ), вызванных усечением

части поверхности частицы. Оптимизация этого эффекта для цилиндрических частиц позволяет достичь сверхразрешения на их плоской поверхности.

Физические принципы усеченной сферической линзы, для которой имеет место фокусировка без aberrаций, также известная как линза Вейерштрасса, основаны на сжатии формируемого пучка путем уменьшения угла преломления проходящего излучения, измеренного от оптической оси. Это происходит, когда сфера усечена до толщины $d=R*(1 + 1/n)$, где R - радиус сферы, а d соответствует апланатическому фокусу [113,114]. Однако для малых значений усечений (малого размера d) наблюдается перераспределение поля из-за сильного возбуждения МШГ и усиления как электрического, так и магнитного полей. Сингулярность, связанная с разрывом фазы на линии пересечения сферической (или цилиндрической) поверхности с плоской поверхностью, приводит к изменению закона Снеллиуса на обобщенные законы отражения и преломления [115]. По этому закону происходит изменение критических углов полного внутреннего отражения и при некотором значении фазового градиента существует критический угол падения [115]. Этот фазовый градиент зависит от толщины усеченного элемента d и показателя преломления n . На рис. 8 показан результат интерференции двух эванесцентных волн. При этом было обнаружено, что эффективность возбуждения таким новым элегантным методом волн шепчущей галереи сильно зависит от значения усеченного сегмента d .

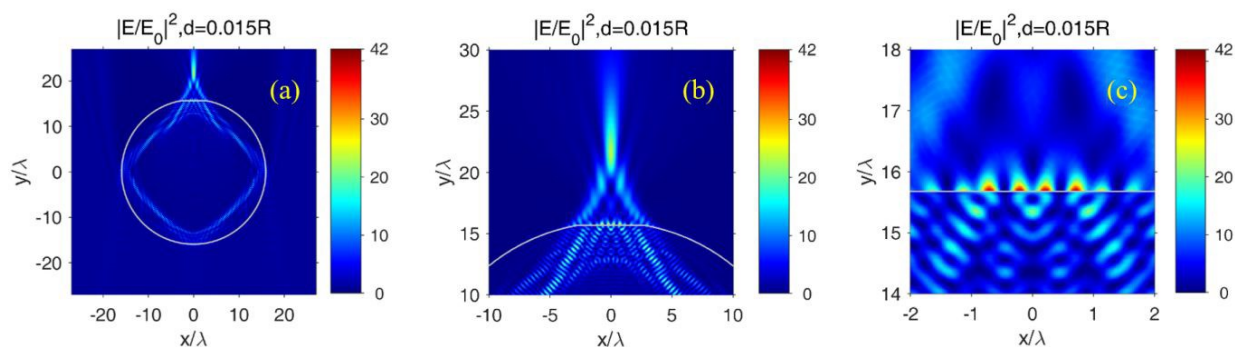


Рис.8. Распределение интенсивности поля для резонансного значения усеченного сегмента и его фрагменты. Плоский фронт падает снизу вверх.

Исследования показывают, что использование Янус частиц также способствует увеличению добротности и увеличению составляющих электрической и магнитной напряженности вблизи поверхности удаленного элемента частицы. Эффект является резонансным по отношению к объему удаляемой фракции вещества и наблюдается в диапазоне параметра размеров $q=30...90$.

В тоже время, введение микросфер в обычную систему оптического микроскопа приводит к нежелательным aberrациям, которые снижают контрастность и качество изображения, несмотря на то, что наблюдается улучшение локального разрешения в области под микросферой. В тоже время в [116] впервые было продемонстрировано, что диэлектрический куб из Тefлона с размером грани, равной длине волны, можно использовать для улучшения разрешения путем простого его размещения в сфокусированной области системы визуализации (линзы), независимо от значения числовой апертуры. Этот принцип может быть использован как в системах «на отражение», так и в системах передачи изображений «на пропускание» [117]. Используя частоту 125 ГГц в системе формирования изображений, мы получили разрешение, соответствующую частоте 275 ГГц, что в 2,2 раза выше. Это особенно важно в ТГц диапазоне, где увеличение частоты зондирующего излучения приводит к увеличению поглощения в среде, и поэтому часто не применимо. При этом коэффициент увеличения контрастности изображения составлял примерно 4,4.

Наименьшее разрешение в микроскопии оптического типа ограничивается фундаментальным пределом дифракции. Микроскопы на основе диэлектрических микрочастиц размера порядка длины волны являются многообещающим инструментом для преодоления дифракционного предела. Однако микрочастицы имеют низкий контраст изображения в воздухе, что ограничивает применение этого метода. Увеличить контраст изображения возможно, используя микрочастицы, обеспечивающих формирование области локализации излучения под углом к направлению падения излучения (под углом к оптической оси), например, фотонный крючок или фотонную струю с наклонным освещением в ближнем поле [118]. По аналогии с классическим оптическим микроскопом [119,120], в случае осевого формирования фотонной струи излучение падает на образец, и дифрагированные порядки -1 и $+1$ находятся за пределами границы частицы, а наклонное облучение приводит к тому, что дифрагированный $+1$ порядок попадает на частицу, что в итоге позволяет увеличить контраст изображения [121] – рис.9.

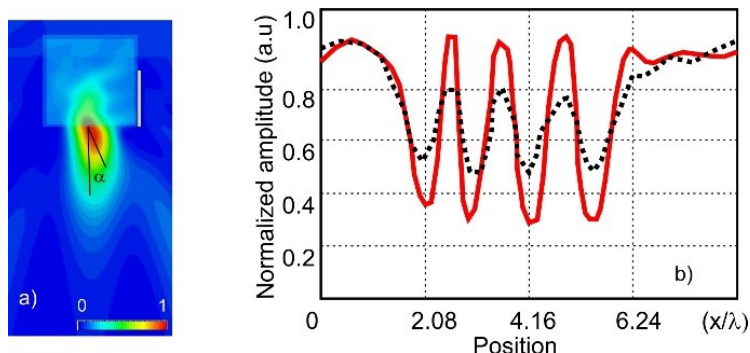


Рис.9. (а) Формирование фотонного крючка для кубической частицы с боковой маской, (б) контраст изображения тестового объекта при облучении фотонной струей (черный) и фотонным крючком (красный).

Наноструктурированные частицы с показателем около 2

Как упоминалось выше, поперечный размер области локализации поля диэлектрической мезомасштабной частицы обычно больше $\lambda/3$ при показателе преломления менее критического. В [122,123] впервые показано, что размер области локализации электромагнитного поля, которое формируется около теневой поверхности диэлектрической мезомасштабной сферы или кубика с показателем преломления материала около 2, может быть значительно уменьшен путем введения наноотверстий на ее теневой поверхности, которая улучшает пространственное разрешение вплоть до $\lambda/100$. Введение наноотверстия на теневой поверхности диэлектрической частицы позволяет «сжать» локализацию поля, характерную для фотонной струи, до размера этого наноотверстия благодаря контрасту диэлектрической проницаемости между частицей и наноотверстием, а минимальная величина перетяжки пучка определяется не длиной волны, а размером этого отверстия.

Такое наноструктурирование теневой поверхности частиц с показателем преломления около 2 позволило предложить концепции оптического пылесоса [123] и оптического магнита [124]) для манипуляции наночастицами, а также оптического модулятора излучения на основе комбинации мезоразмерной частицы и графенового монослоя [125].

Более сложное наноструктурирование теневой поверхности сферических частиц с показателем преломления материала менее 2 на основе дифракционных структур применительно к оптическому манипулированию рассмотрено в [126].

структурированные поля в виде фотонных крючков и петель

Недавно было открыто новое семейство ближнеполюсных локализованных изогнутых световых лучей, известных как «фотонные крючки», которые принципиально отличаются от семейства лучей Эйри [127]). Термин «фотонный крючок» и его концепция были введены в [128, 35]. Фотонные крючки (ФК) уникальны в том смысле, что их радиус кривизны значительно меньше длины волны, что означает, что такие пучки могут испытывать максимальное ускорение, а боковые лепестки не повторяют форму основного пучка и не изогнуты. Более того, в ФК существует точка перегиба, при котором пучок меняет направление своего распространения. ФК можно непосредственно наблюдать вблизи теневой поверхности мезомасштабной Янус частицы, и он свободен от каких-либо других ограничений. Этими свойствами не обладают пучки типа Эйри [129].

В простейшем случае Янус частицы в виде диэлектрического куба с призмой [128, 35, 130, 131], интерференция, вызванная разной толщиной частиц вдоль направления поляризации, приводит к появлению дополнительных сингулярных точек вблизи теневой поверхности асимметричной частицы, в частице неравномерно изменяется время полной фазы колебаний оптической волны, что в конечном счете вызывает искривление пучка.

На сегодня известно несколько подходов к формированию искривленных пучков типа фотонный крючок, систематизированных и подробно рассмотренных в [132]. Среди них: несимметрия формы частицы при постоянном показателе преломления [133,134], симметричная частица с несимметрией показателя преломления [135-137], симметричная однородная частица с ассиметрией облучающей волны [138,139], а также симметричные частицы, расположенные в неоднородной (например, с дискретным распределением показателя преломления) среде и комбинация этих методов, использование системы мезоразмерных рассеивателей [140]. Эта концепция может быть также развита для получения ближнеполюсных пучков типа фотонная петля [35].

Концепция фотонного крючка предлагает изысканный контроль над движением частицы для манипулирования и сортировки клеток на платформах "лаборатория-на-чипе". Уникальное свойство ФК – субволновая кривизна пучка – может быть использовано для транспорта наночастиц за преграду [128]. Так, в приближении Рэлеевкой наночастицы было показано, что возможно ее перемещение вокруг диэлектрической пластины-препятствия [141]. Некоторые из возможных биомедицинских применений этой концепции *in vitro* заключаются в том, чтобы направлять клетки по изогнутой траектории для последующей их дифференциации [142], а также для транспорта нанообъектов в межклеточной или внутриклеточной среде по искривленной траектории, для доставки нанолечков через барьеры центральной нервной системы [143], лазерной хирургии [144], микрофлюидных устройствах, наноструктурирования поверхностей, новых фотонных устройствах [145] и других областях.

Контроль ближнего поля будет становиться все более и более важным в интегрированной фотонике. В этой связи структурированные пучки типа фотонных струи и крючков вполне могут быть тем мостом, который связывает фотонный и материальный миры вместе. В этой связи интересно также, что свойства мезомасштабных пирамидальных частиц [36,37, 146-148] раскрывают возможную природу египетских пирамид [149,150].

Низкоразмерные системы. Плазмонные струи и крючки

Изучение свойств низкоразмерных систем занимает одно из центральных мест в фотонике. Плазмонные структуры интенсивно изучаются из-за способности локализовывать свет на субволновых масштабах [151,152]. Поверхностные плазмонные волны, по сути, это двумерные волны, компоненты поля которых экспоненциально затухают при удалении от границы раздела метал-диэлектрик.

По-видимому, впервые возможность формирования аналога фотонной струи для плазмонных волн на основе диэлектрического диска, расположенного на металлической пленке, была теоретически показана в [153]. Позднее, на основе решения уравнений Максвелла, образование плазмонной струи на основе диэлектрического кубоида из нитрида кремния (Si_3N_4) было исследовано в [154]. При этом, используя идею волновода на основе цепочек кубических частиц [87], в [155] была продемонстрирована возможность увеличения длины распространения локализованной плазмонной волны. Однако экспериментально эффект плазмонной струи на основе диэлектрического кубика, расположенного на золотой пленке, был впервые подтвержден в [156]. Эффект плазмонной струи продемонстрировал захватывающие потенциальные применения в интегрированной оптике и оптике ближнего поля для управления плазмонными волнами. Такая новая и простая платформа может обеспечить новый путь для плазмоники, визуализации с высоким разрешением, биофотоники, хранения оптических данных и будущих приложений от управления светом в наномасштабе до фотонных устройств на кристалле [157].

Это же относится и к плазмонному крючку. Теоретически эффект плазмонного крючка был обоснован в [158]. И совсем недавно он был впервые подтвержден экспериментально [159]. Важно отметить, что плазмонный крючок продемонстрировал *наименьшую* кривизну луча, когда-либо зарегистрированную для плазмонных волн. Экспериментальная проверка этих эффектов открывает новые возможности для управления взаимодействием между светом и веществом на наноуровне и могут значительно расширить доступные инструменты для новых интригующих манипуляций со светом [160].

Акустические струи и крючки

В оптическом диапазоне для характеристики фотонных струй обычно достаточно двух параметров: параметра размера M_i и контраста показателя преломления. В терагерцовом и СВЧ диапазонах добавляется параметр, характеризующий потери в материале частицы. В акустическом диапазоне добавляется еще один параметр - все материалы, как правило, являются анизотропными ввиду наличия двух скоростей звука в материале твердой частицы: продольной и поперечной (shear wave).

Термин «акустическая струя» был введен в работе [161] на основе аналогии уравнений Максвелла и механики сплошных сред для линейного режима. В [162,163] было экспериментально продемонстрировано получение акустической струи с минимальным размером перетяжки пучка акустической струи около половины длины волны для сферической и цилиндрической частиц. Было показано существенное влияние на формирование акустической струи соотношения продольной и поперечной скоростей звука в материале частицы [164]. Исследованы акустические струи на основе частиц из метаматериалов [161,165]. Был также подтвержден эффект аномальной аподизации для акустических струй как в газе, так и в жидкости [166,167].

В результате исследований было показано, что за условия формирования акустической струи, также как и в оптике, существенная роль отводится системе акустических вихрей как в материале частицы, так и в области ее теневой поверхности.

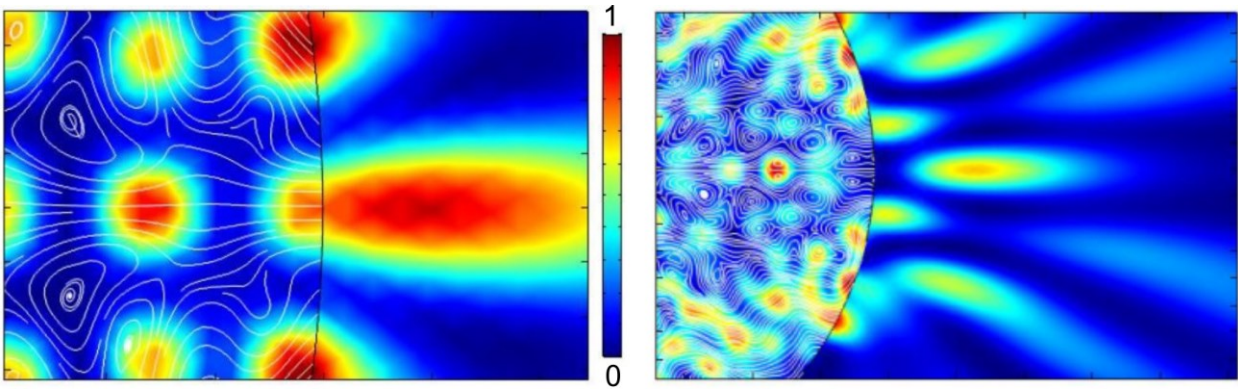


Рис.10. Вихревые течения в материале частицы (Рексолит, плотность 1049 kg/m^3 , продольная скорость звука $C_l=2337 \text{ m/s}$, поперечная скорость звука $s=1157 \text{ m/s}$) и образование горячих точек в нерезонансном (слева) и вблизи резонанса (справа) режимах.

Кроме того, оптический эффект суперрезонанса наблюдается и в акустике [168,169] – рис.11. Вблизи резонансной частоты разрешение в области горячей точки составляет около $0.21\lambda - 0.23\lambda$.

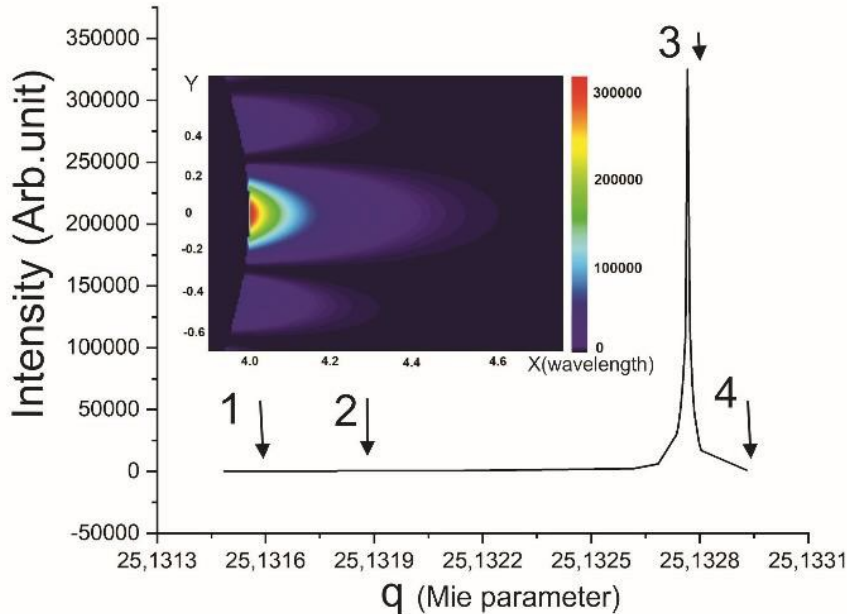


Рис.11. Резонансное рассеяние акустической волны на сферической частице из Рексолита (Rexolite), расположенной в воде, в зависимости от параметра размера Ми. На вставке: структура «горячей точки» на теневой поверхности частицы на резонансной частоте. Максимальная интенсивность в указанных точках 1-4 составляет: 325 (1), 2500 (2), 325000 (3), 1000 (4) в единицах интенсивности падающей на частицу акустической волны.

Концепция фотонного крючка была распространена на акустические волны и экспериментально подтверждена в [170]. Этот изогнутый акустический пучок генерировался с помощью погруженной в воду частицы из Рексолита с трапециевидной прямоугольной призмой, на которую падала плоская ультразвуковая волна с частотой 250 кГц. Аналогичные результаты были получены позднее в [171]. В [172] акустические струи и акустические крючки в воде были получены с помощью мезомасштабного (параметр $q < 30$) цилиндра из АБС-пластика, изготовленного на 3D-принтере. Было продемонстрировано, что в резонансном режиме возбуждение мод шепчущей галереи приводит к минимальным значениям диаметра акустической струи менее дифракционного предела. В нерезонансном режиме внутри цилиндра размещался кубический фононный кристалл, и в зависимости от его ориентации относительно направления падения волны формировались как акустические струи, так и акустические крючки. Позднее, частица,

состоящая из полусферического цилиндра из Рексолита и полусферического фотонного кристалла (использовались два разных материала с разными эффективными показателями преломления), формирующая акустический крючок, была рассмотрена в [173].

Структурированные акустические пучки типа струи и крючков могут также найти потенциальное применение в микроскопии, медицинской визуализации [174], мониторинге состояния различных конструкций [175], в сборе и локализации энергии [176].

В целом, наличие также целого ряда новых приложений свидетельствует о том, что в оптике, акустике и плазмонике возникло новое перспективное направление.

Список литературы

1. Mie, G. (1908). Contributions to the optics of turbid media, particularly of colloidal metal solutions. *Ann. Phys.*, 25(3), 377–445.
2. Y.B. Zel'dovich, *Electromagnetic interaction with parity violation*, JETP **6**, 1184 (1957)
3. V. A. Fedotov, A. V. Rogacheva, V. Savinov, D. P. Tsai, N. I. Zheludev, Resonant Transparency and Non-Trivial Non-Radiating Excitations in Toroidal Metamaterials. *Scientific Reports*, 3 296 (2013).
4. A. E. Miroshnichenko, A. B. Evlyukhin, Y. F. Yu, R. M. Bakker, A. Chipouline, A. I. Kuznetsov, B. Luk'yanchuk, B. N. Chichkov & Y. S. Kivshar. Nonradiating anapole modes in dielectric nanoparticles. *Nat Commun* **6**, 8069 (2015).
5. B. Luk'yanchuk, R. Paniagua-Domínguez, A. I. Kuznetsov, A. E. Miroshnichenko, and Y. S. Kivshar. Hybrid anapole modes of high-index dielectric nanoparticles // *Phys. Rev. A* **95**, 063820 (2017).
6. Luk'yanchuk B., Paniagua-Domínguez R., Kuznetsov A., Miroshnichenko A. and Kivshar Y. 2017 Suppression of scattering for small dielectric particles: anapole mode and invisibility. *Phil. Trans. R. Soc. A* **375**, 20160069 (2017)
7. Rayleigh L. 1871 On the scattering of light by small particles. *Philos. Mag.* **41**, 447–454.
8. J. R. Zurita-Sánchez. Anapole arising from a Mie scatterer with dipole excitation. *Physical Review Research* 1(3), 033064 (2019)
9. K. Baryshnikova, D. Smirnova, B. S. Luk'yanchuk, and Y. S. Kivshar. Optical Anapoles: Concepts and Applications. *Adv. Optical Mater.* 2019, 1801350
10. Y. Yang and S. I. Bozhevolnyi. Nonradiating anapole states in nanophotonics: from fundamentals to applications. *Nanotechnology* 30 (2019) 204001
11. E. Díaz-Escobar, T. Bauer, E. Pinilla-Cienfuegos, Á. I. Barreda, A. Griol, L. Kuipers and A. Martínez. Radiationless anapole states in on-chip photonics. *Light: Science & Applications* (2021) 10:204
12. B. Luk'yanchuk, V. Ternovsky. Light scattering by a thin wire with a surface-plasmon resonance: Bifurcations of the Poynting vector field. *Phys. Rev. B* **73**, 235432 (2006)
13. M. V. Bashevoy, V. A. Fedotov and N. I. Zheludev. Optical whirlpool on an absorbing metallic nanoparticle. *Opt. Express* 13(21), 8372 (2005)
14. B. Luk'yanchuk, A. Miroshnichenko and Y. Kivshar. Fano resonances and topological optics: an interplay of far- and near-field interference phenomena. *J. Opt.* **15**, 073001 (2013)
15. Luk'yanchuk B., Paniagua-Dominguez R., Minin I.V., Minin O.V., Z.B. Wang, “Refractive index less than two: Photonic nanojets yesterday, today and tomorrow,” *Optical Materials Express*, Vol. 7, No. 6, pp. 1820 - 1847 (2017)
16. L. Yue, B. Yan, J. Monks, R. Dhama, C. Jiang, O. V. Minin, I. V. Minin & Z. Wang. Full three-dimensional Poynting vector flow analysis of great field-intensity enhancement in specifically sized spherical-particles. *Sci. Rep.* (2019) 9:20224

17. Z. Wang, B. Luk'yanchuk, L. Yue, B. Yan, J. Monks, R. Dhama, O. V. Minin, I. V. Minin, S. Huang & A. Fedyanin. High order Fano resonances and giant magnetic fields in dielectric microspheres. *Sci Rep* **9**, 20293 (2019).
18. L. Yue, Z. Wang, B. Yan, J. Monks, Y. Joya, R. Dhama, O. V. Minin, and I. V. Minin. Super-Enhancement Focusing of Teflon Spheres. *Ann. Phys. (Berlin)* **2020**, 532, 2000373
19. Y. E. Geints, O. V. Minin, and I. V. Minin. Apodization-Assisted Subdiffraction Near-Field Localization in 2D Phase Diffraction Grating. *Ann. Phys. (Berlin)*, 1900033 (2019)
20. Y. E. Geints, O. V. Minin, I. V. Minin and A. A. Zemlyanov. Self-images contrast enhancement for displacement Talbot lithography by means of composite mesoscale amplitude-phase masks. *J. Opt.* **22**, 015002 (2020)
21. P. Chausse and P. Shields. Spatial periodicities inside the Talbot effect: understanding, control and applications for lithography. *Optics Express* **29**(17), 27628 (2021).
22. Z. Chen, A. Taflove, and V. Backman, Photonic nanojet enhancement of backscattering of light by nanoparticles: a potential novel visible-light ultramicroscopy technique. *Opt. Express* **12**, 1214–1220 (2004).
23. Benincasa, D. S., Barber, P. W., Zhang, Jian-Zhi, Hsieh, Wen-Feng, & Chang R. K. Spatial distribution of the internal and near-field intensities of large cylindrical and spherical scatterers. *Applied Optics*, **26**(7), 1348–1356 (1987).
24. B. Luk'yanchuk, Y. W. Zheng & Y. F. Lu, Laser cleaning of solid surface: Optical resonance and near-field effects, *Proc. SPIE* **4065**, pp. 576–587 (2000)
25. Y. F. Lu, L. Zhang, W. Song, Y. Zheng & B. S. Luk'yanchuk. Laser writing of a subwavelength structure on silicon (100) surfaces with particle-enhanced optical irradiation. *Jetp Lett.* **72**, 457–459 (2000).
26. M. Mosbacher, H.-J. Münzer, J. Zimmermann, J. Solis, J. Boneberg & P. Leiderer, *Optical field enhancement effects in laser-assisted particle removal*, *Appl. Phys. A* **72**, pp. 41–44 (2001).
27. J. J. Wang, G. Gouesbet, G. Gréhan, Y. P. Han, and S. Saengkaew. Morphology-dependent resonances in an eccentrically layered sphere illuminated by a tightly focused off-axis Gaussian beam: parallel and perpendicular beam incidence. *J. Opt. Soc. Am. A*, **28**(9), 1849 (2011)
28. Li, X., Chen, Z., Taflove, A., & Backman, V. (2005). Optical analysis of nanoparticles via enhanced backscattering facilitated by 3-D photonic nanojets. *Opt. Express*, **13**, 526 p.14.
29. M. Yousefi, T. Scharf, and M. Rossi. Photonic nanojet generation under converging and diverging beams. *J. Opt. Soc. Am. B* **38**(2) 317-326 (2021)
30. H. Wang, J. Hao, B. Zhang, C. Han, C. Zhao, Z. Shen, J. Xu, and J. Ding. Donut-like photonic nanojet with reverse energy flow. *Chinese Optics Letters* **19**(10), 102602 (2021)
31. C. Lecler, Y. Takakura, P. Meyrueis, Properties of a three-dimensional photonic jet. *Opt.Lett.* **30**, 2641–2643 (2005)
32. I. V. Minin, O. V. Minin, N. Gagnon and A. Petosa, "FDTD Analysis of a Flat Diffractive Optics with Sub-Reyleigh Limit Resolution in MM/THz Waveband," *2006 Joint 31st International Conference on Infrared Millimeter Waves and 14th International Conference on Terahertz Electronics*, 2006, pp. 170-170.
33. I. V. Minin O. V. Minin. Experimental verification 3D subwavelength resolution beyond the diffraction limit with zone plate in millimeter wave. *Microwave and Optical Technology Letters*, Vol. 56, No. 10, 2014
34. C. Liu, T. Kaiser, S. Lange, and G. Schweiger, "Structural resonances in a dielectric sphere illuminated by an evanescent wave," *Opt. Commun.* **117**, 521–531 (1995).
35. I. V. Minin, O. V. Minin, *Diffractive Optics and Nanophotonics: Resolution Below the Diffraction Limit*, Springer, Berlin, Germany **2016**.

36. I.V.Minin and O.V.Minin. Photonics of isolated dielectric particles of arbitrary 3D shape – a new direction of optical information technologies // Vestnik NSU. 2014. V. 12(4). P. 59.
37. I.V.Minin, O.V.Minin, Y.Geints. Localized EM and photonic jets from non-spherical and non-symmetrical dielectric mesoscale objects: Brief review// Ann. Phys. (Berlin). 2015. V.527(7-8). P. 491.
38. X. Cui, D. Erni, C. Hafner, Optical forces on metallic nanoparticles induced by a photonic nanojet. *Opt. Express*, *Opt Express* 2008, 16(18) 13560
39. Y. Li, H. Xin, X. Liu, Y. Zhang, H. Lei, B. Li, Trapping and Detection of Nanoparticles and Cells Using a Parallel Photonic Nanojet Array. *ACS Nano* 2016, 10, 6 5800.
40. A. Shakhov, A. Astafiev, and V. Nadochenko, "Microparticle manipulation using femtosecond photonic nanojet-assisted laser cavitation," *Optics Letters* 43(8), 1858 (2018)
41. S. Surdo, M. Duocastella, and A. Diaspro, "Nanopatterning with Photonic Nanojets: Review and Perspectives in Biomedical Research," *Micromachines* 12(3), 256 (2021).
42. D. Lu, M. Pedroni, L. Labrador-Paez, M. I. Marques, D. Jaque, and P. Haro-Gonzalez, "Nanojet Trapping of a Single Sub-10 nm Upconverting Nanoparticle in the Full Liquid Water Temperature Range," *Nano Micro Small* 17(7), 2006764 (2021).
43. J. L. Killian, F. Ye, and M. D. Wang, "Optical Tweezers: A Force to Be Reckoned With," *Cell* 175(6), 1445–1448 (2018).
44. X. Shan, F. Wang, D. Wang, S. Wen, C. Chen, X. Di, P. Nie, J. Liao, Y. Liu, L. Ding, P. J. Reece, and D. Jin, "Optical tweezers beyond refractive index mismatch using highly doped upconversion nanoparticles," *Nature Nanotechnology* 16, 531–537 (2021).
45. W. Zhang, H. Lei, "Fluorescence enhancement based on cooperative effects of a photonic nanojet and plasmon resonance," *Nanoscale* 12(12), 6596–6602 (2020).
46. L. A. Bratchenko, I. A. Bratchenko, Y A. Khristoforova, D. N. Artemyev, D. Y. Konovalova, P. A. Lebedev, and V. P. Zakharov, "Raman spectroscopy of human skin for kidney failure detection," *Journal of Biophotonics* 14(6), e202000360 (2020).
47. A.I. Kuznetsov, A. E. Miroshnichenko, Y. H. Fu, J. B. Zhang & B. Luk'yanchuk. Magnetic light // *Scientific Reports* 2, 492 (2012).
48. P. Albella, M. A. Poyli, M. K. Schmidt, S. A. Maier, F. Moreno, J. J. Saénz, and J. Aizpurua, "Low-Loss Electric and Magnetic Field-Enhanced Spectroscopy with Subwavelength Silicon Dimers," *J. Phys. Chem. C* 117(26), 13573–13584 (2013).
49. R. M. Bakker, D. Permyakov, Y. F. Yu, D. Markovich, R. Paniagua-Domínguez, L. Gonzaga, A. Samusev, Y. Kivshar, B. Luk'yanchuk, and A. I. Kuznetsov, "Magnetic and electric hotspots with silicon nanodimers," *Nano Lett.* 15(3), 2137–2142 (2015).
50. C. Li, G. W. Kattawar, and P.-W. Zhai. Electric and magnetic energy density distributions inside and outside dielectric particles illuminated by a plane electromagnetic wave. // *Opt. Express* 13(12), 4554 (2005)
51. D. G. Baranov, R. S. Savelev, S. V. Li, A. E. Krasnok, and A. Alu, "Modifying magnetic dipole spontaneous emission with nanophotonic structures," *Laser Photonics Rev.* 2017, 1600268 (2017).
52. Z. Wang, B. Luk'yanchuk, L. Yue, B. Yan, J. Monks, R. Dhama, O. V. Minin, I. V. Minin, S. Huang & A. Fedyanin. High order Fano resonances and giant magnetic fields in dielectric microspheres. *Sci Rep* 9, 20293 (2019).
53. Berry, M. V. Superoscillations and leaky spectra. *J. Phys. A Math. Theor.* 52, 015202 (2018).
54. Yuan, G. H. & Zheludev, N. I. Detecting nanometric displacements with optical ruler metrology. *Science* 364, 771–775 (2019).
55. Sakharov, A. D. "Magnetoimplosive generators". *Soviet Physics Uspekhi.* 9(2): 294–299. (1966).

56. V. F. Minin, I. V. Minin and O. V. Minin. Calculation Experiment Technology. In: Computational Fluid Dynamics. InTechOpen (2011). DOI: 10.5772/22497
57. Pacheco-Pena V., Beruete M., Minin I. V., Minin O. V. Terajets produced by 3D dielectric cuboids, *Appl. Phys. Lett.*, 2014, vol. 105, p. 084102.
58. Zhao L. and Ong C. K. Direct observation of photonic jets and corresponding backscattering enhancement at microwave frequencies. *J. Appl. Phys.*, 2009, vol. 105, p. 123512.
59. Pacheco-Pena V., Beruete M., Minin I. V., Minin O. V. Multifrequency focusing and wide angular scanning of Terajets. *Optic Letters*, 2015. V.40(2). P245.
60. Minin, I. V., O. V. Minin, J. Delgado-Notario, et al., Improvement of a terahertz detector performance using the terajet effect in a mesoscale dielectric cube: Proof of concept," *Physica Status Solidi-Rapid Research Letters*, Vol. 14, No. 5, 1900700, 2020.
61. Minin, I. V., O. V. Minin, J. Salvador-Sanchez, et al., Responsivity enhancement of a strained silicon field effect transistor detector at 0.3 THz using the terajet effect," *Optics Letters*, Vol. 46, No. 13, 3061-3064, 2021.
62. Minin, O. V., I. V. Minin, Y. M. Meziani, et al., Improvement of a point-contact detector performance using the terajet effect initiated by photonics, *Opt. Eng.* 60(8), 082005 (2020).
63. I. Dorofeev, G. Dunaevsky, V. Suslyayev, I. V. Minin and O. V. Minin. Small-sized body influence on the quality factor increasing of quasioptical resonator. *Optical and Quantum Electronics* (2017) 49:355-10
64. Samura, Y., K. Horio, V. B. Antipov, et al., Characterization of mesoscopic dielectric cuboid antenna at millimeter-wave band," *IEEE Antennas and Wireless Propagation Letters*, 18(9), 1828-1832 (2019).
65. K. Yamada, Y. Samura, O. V. Minin, A. Kanno, N. Sekine, J. Nakajima, I. V. Minin, S. Hisatake. Short-range Wireless Transmission in the 300-GHz Band Using Low-profile Wavelength-scaled Dielectric Cuboid Antennas. *Front. Comms. Net* 2, 702968 (2021).
66. Gouy, L. G. Sur une propriete nouvelle des ondes lumineuses. *C. R. Acad. Sci. Paris* **110**, 1251 (1890).
67. M.-S. Kim, T. Scharf, S. Mühlig, C. Rockstuhl, and H. P. Herzig. Gouy phase anomaly in photonic nanojets. *Appl. Phys. Lett.* 98, 191114 (2011)
68. P. Bon, B. Rolly, N. Bonod, J. Wenger, B. Stout, S. Monneret, and H. Rigneault, "Imaging the Gouy phase shift in photonic jets with a wavefront sensor," *Opt. Lett.* 37, 3531-3533 (2012)
69. H. H. N. Pham, S. Hisatake, I. V. Minin, O. V. Minin, and T. Nagatsuma. Three-dimensional direct observation of Gouy phase shift in a terajet produced by a dielectric cuboid. *Appl. Phys. Lett.* 108, 191102 (2016)
70. H. H. N. Pham, S. Hisatake, O. V. Minin, T. Nagatsuma, and I. V. Minin. Asymmetric phase anomaly of terajet generated from dielectric cube under oblique illumination. *Appl. Phys. Lett.* 110, 201105 (2017)
71. J. Liñares, X. Prieto-Blanco, C. Montero-Orille, and V. Moreno, "Spatial mode multiplexing/demultiplexing by Gouy phase interferometry," *Opt. Lett.* 42, 93-96 (2017)
72. Born M and Wolf E 1999 *Principles of Optics* 7th edn (Cambridge: Cambridge University Press)
73. B. Yan, L. Yue, Z. B. Wang, Engineering near-field focusing of a microsphere lens with pupil masks. *Opt. Commun.* **2016**, 370, 140.
74. M. Wu, R. Chen, J. Soh, Y. Shen, L. Jiao, J. Wu, X. Chen, R. Ji & M. Hong. Super-focusing of center-covered engineered microsphere. *Sci Rep.* **6**, 31637 (2016)
75. I. V. Minin, O. V. Minin, *Patent of Russia N* **2015**, 21, 153686.

76. L. Yue, B. Yan, J. Monks, R. Dhama, Z. Wang, O. V. Minin, and I. V. Minin. Intensity-Enhanced Apodization Effect on an Axially Illuminated Circular-Column Particle-Lens. *Ann. Phys. (Berlin)* 2017, 1700384
77. L. Yue, B. Yan, J. Monks, Z. Wang, N. T. Tung, V. D. Lam, O. V. Minin and I. V. Minin. Production of photonic nanojets by using pupil-masked 3D dielectric cuboid. *J. Phys. D: Appl. Phys.* 50 (2017) 175102
78. L. Yue, B. Yan, J. Monks, Z. Wang, N. T. Tung, V. D. Lam, O. V. Minin, and I. V. Minin. A millimetre-wave cuboid solid immersion lens with intensity-enhanced amplitude mask apodization. *J Infrared Milli Terahz Waves*, 39(6), 546–552 (2018)
79. C.-Y. Liu, W.-Y. Chen, Y.E. Geints, O. V. Minin, and I. V. Minin. Simulation and experimental observations of axial position control of photonic nanojet by dielectric cube with metal screen. *Optics Letters* 46(17) 4292-4295 (2021)
80. C.-Y. Liu, W.-Y. Chen, O. V. Minin and I. V. Minin. Multispectral photonic jet shaping and steering by control of tangential electric field component on cuboid particle. *Photonics* 2021, 8, 317
81. I. Dorofeev, V. Suslyayev, O. V. Minin, and I. V. Minin, Role of the tangential electric field component to the terahertz jet and hook formation by dielectric cube and sphere. *Opt. Eng.* 60, 082004 (2021).
82. G. Christian and J. Goubau, Experimental studies on a beam waveguide for millimeter waves. *IRE Trans. Antennas Propag.* 9, 256 (1961).
83. F. Sobel, F. L. Wentworth, and J. C. Wiltse, Quasi-Optical Surface Waveguide and Other Components for the 100-to 300-Gc Region. *IRE Trans. Microwave Theory Tech.* 9, 512 (1961).
84. Z. Chen, A. Taflove, and V. Backman, "Highly efficient optical coupling and transport phenomena in chains of dielectric microspheres," *Opt. Lett.* 31, 389-391 (2006)
85. A.M. Kapitonov and V. N. Astratov, "Observation of nanojet-induced modes with small propagation losses in chains of coupled spherical cavities," *Opt. Lett.* 32, 409-411 (2007)
86. S. Yang and V. N. Astratov, "Photonic nanojet-induced modes in chains of size-disordered microspheres with an attenuation of only 0.08 dB per sphere", *Appl. Phys. Lett.* 92, 261111 (2008)
87. I. V. Minin, O. V. Minin, V. Pacheco-Peña, and M. Beruete. All-dielectric periodic terahertz waveguide using an array of coupled cuboids. *Applied Physics Letters* 106, 254102 (2015)
88. T. Mitsui, Y. Wakayama, T. Onodera, T. Hayashi, N. Ikeda, Y. Sugimoto, T. Takamasu, and H. Oikawa, Micro-demultiplexer of Coupled Resonator Optical Waveguide Fabricated by Microspheres, *Adv. Mater.*, 22, 3022-3026 (2010)
89. Mitsui, T. Onodera, Y. Wakayama, T. Hayashi, N. Ikeda, Y. Sugimoto, T. Takamasu, H. Oikawa, Influence of micro-joints formed between spheres in coupled resonator optical waveguide, *Opt. Express* 19 (2011) 22258–22267.
90. C.-Y. Liu, O. V. Minin, I. V. Minin. Periodical focusing mode achieved through a chain of mesoscale dielectric particles with a refractive index near unity. *Optics Communications* 434 (2019) 110–117
91. A. Mikaelyan, SELFOC dielectric waveguides, *Sov. J. Quantum Electron.* 7 (1977) 266–267.
92. Y. Liu, B. M. A. Rahman, Y. N. Ning, and K. T. V. Grattan, "Accurate mode characterization of graded-index multimode fibers for the application of mode-noise analysis," *Appl. Opt.* 34, 1540-1543 (1995)
93. H. F. Talbot, "Facts relating to optical science" No. IV, *Philos. Mag.* 9, (1836).
94. B. Besold, N. Lindley, "Fractional Talbot effect for periodic microlens arrays", *Opt. Eng.* 36, 1099-1105 (1997).

95. I. V. Minin, O. V. Minin, V. Pacheco-Peña, and M. Beruete, "Localized photonic jets from flat, three-dimensional dielectric cuboids in the reflection mode," *Opt. Lett.* **40**, 2329-2332 (2015)
96. I. V. Minin, O.V. Minin, N. A. Kharitoshin. Localized High Field Enhancements from Hemispherical 3D Mesoscale Dielectric Particles in the Reflection Mode. Proc. of the 16th Int. Conf. EDM, 29 June-3 July 2015, Novosibirsk, Russia. P.331-333 (2015)
97. I. V. Minin, O. V. Minin, and I. Nasedov, "Photonic jets from Babinet's cuboid structures in the reflection mode," *Opt. Lett.* **41**, 785-787 (2016)
98. L. Yue, B. Yan, J. Monks, R. Dhama, Z. Wang, O. V. Minin, and I. V. Minin. Photonic Jet by a Near-Unity-Refractive-Index Sphere on a Dielectric Substrate with High Index Contrast. *Ann. Phys. (Berlin)* 2018, 1800032
99. I. V. Minin, Y. E. Geints, A. A. Zemlyanov, and O. V. Minin. Specular-reflection photonic nanojet: physical basis and optical trapping application. *Optics Express* Vol. 28, No. 15, 22690 (2020)
100. H. Wang, X. Wu, and D. Shen, "Trapping and manipulating nanoparticles in photonic nanojets," *Optics Letters* **41**(7), 1652 (2016).
101. K. A. Sergeeva, A. A. Sergeev, O. V. Minin and I. V. Minin. A Closer Look at Photonic Nanojets in Reflection Mode: Control of Standing Wave Modulation. *Photonics* 2021, 8, 54.
102. Minin, I.V., Liu, CY., Yang, YC., K. Staliunas & O. V. Minin. Experimental observation of flat focusing mirror based on photonic jet effect. *Sci Rep* **10**, 8459 (2020)
103. Cheng, Y., Kicas, S., Trull, J., M. Peckus, C. Cojocar, R. Vilaseca, R. Drazdys & K. Staliunas. Flat Focusing Mirror. *Sci Rep* **4**, 6326 (2014).
104. Y.-C. Cheng and K. Staliunas. Near-field flat focusing mirrors. *Applied Physics Reviews* **5**, 011101 (2018)
105. S. Zhou, Y. Deng, W. Zhou, M. Yu, H. P. Urbach, Y. Wu. Effects of whispering gallery mode in microsphere super-resolution imaging. *Appl. Phys. B* (2017) **123**:236
106. T.X. Hoang, Y. Duan, X. Chen, G. Barbastathis, Focusing and imaging in microsphere-based microscopy. *Opt. Express* **23**, 12337-12353 (2015)
107. Y. E. Geints, E. K. Panina, I. V. Minin and O. V. Minin. Study of focusing parameters of wavelength-scale binary phase Fresnel zone plate. *J. Opt.* **23** (2021) 065101)
108. Minin, I. V. and O. V. Minin, Terahertz artificial dielectric cuboid lens on substrate for super-resolution images," *Opt. and Quant. Electron.*, **49**(10), 326 (2017).
109. C.-Y. Liu, T.-P. Yen, O. V. Minin, I. V. Minin, Engineering photonic nanojet by a graded-index micro-cuboid. *Physica, E. Low-dimensional systems & nanostructures*, **98**, 105–110 (2018).
110. S. Kwon, K. Kim, J. Park, Y. Cho, M. Lee, "Microsphere-assisted ultra-small spot spectral reflectometry technique for semiconductor device metrology," Proc. SPIE 11611, Metrology, Inspection, and Process Control for Semiconductor Manufacturing XXXV, 116110G (8 March 2021)
111. I. V. Minin, O. V. Minin, Y. Cao, B. Yan, Z. Wang, B. Luk'yanchuk. Photonic Lenses with whispering Gallery Waves at Janus Particles. *Opto-Electronic Science* (2022). ArXiv: 2012.09489 (2020)
112. P. Liu, A. T. Liu, D. Kozawa, J. Dong, J. F. Yang, V. B. Koman, M. Saccone, S. Wang, Y. Son, M. H. Wong, M. S. Strano, *Autoperforation of 2D materials for generating twoterminal memristive Janus particles*, *Nature Materials* **17**, 1005-1012 (2018).
113. D.R. Mason, M.V. Jouravlev, K.S. Kim, *Enhanced resolution beyond the Abbe diffraction limit with wavelength-scale solid immersion lenses*, *Optics Letters* **35**, 2007-2009 (2010).

114. G. S. Kino, S. M. Mansfield, *Near field and solid immersion optical microscope*. US Patent 5,004,307 (1991).
115. N. Yu, P. Genevet, M.A. Kats, F. Aieta, J.-P. Tetienne, F. Capasso, Z. Gaburro. *Light Propagation with Phase Discontinuities: Generalized Laws of Reflection and Refraction*. *Science* **334**, 333-337 (2011).
116. H.-H. Nguyen Pham, S. Hisatake, O.V. Minin, T. Nagatsuma and I.V. Minin. Enhancement of Spatial Resolution of Terahertz Imaging Systems Based on Terajet Generation by Dielectric Cube *APL Photonics* **2** 056106 (2017).
117. I. V. Minin, O. V. Minin, J. Salvador-Sanchez, J. A. Delgado-Notario, J. Calvo-Gallego, P.F. Baranov, M. Ferrando-Bataller, K. Fobelets, J. E. Velazquez-Perez, and Y. M. Meziani. Imaging resolution enhancement using terajet effect at 0.3THz. Proc. SPIE 11868, Emerging Imaging and Sensing Technologies for Security and Defence VI, 118680N (12 September 2021);
118. Minin I.V., Minin O.V. Terahertz Microscopy with Oblique Subwavelength Illumination in near Field. *Preprints* 2021090024 (2021); doi: 10.20944/preprints202109.0024.v1
119. Abbe, E., On the estimation of the aperture of the microscope, *J.Roy Microscop. Soc. Ser. II* 1, 349–388 (1881).
120. Sanchez, C., Cristobal, G., Bueno, G., Blanco, S., Borrego-Ramos, M., Olenici, A., Pedraza, A., Ruiz-Santaquiteria, J. Oblique illumination in microscopy: a quantitative evaluation. *Micron* 105, 47–54 (2018.)
121. I.V.Minin and O.V.Minin. THz microscopy with oblique subwavelength illumination: proof of concept. *Quantum Electronics*, 2022 (accepted)
122. Y. Cao, Z. Liu, O. V. Minin and I. V. Minin. Deep Subwavelength-Scale Light Focusing and Confinement in Nanohole-Structured Mesoscale Dielectric Spheres. *Nanomaterials* 2019, 9, 186
123. Minin, I.V., Minin, O.V., Cao, Y. , Z. Liu, Y. Geints & A. Karabchevsky. Optical vacuum cleaner by optomechanical manipulation of nanoparticles using nanostructured mesoscale dielectric cuboid. *Sci Rep* **9**, 12748 (2019).
124. O. V. Minin, I. V. Minin and Y. Cao. Optical magnet for nanoparticles manipulations based on optical vacuum cleaner concept. Proc. SPIE 11845, Saratov Fall Meeting 2020: Optical and Nanotechnologies for Biology and Medicine, 118451G (4 May 2021)
125. I.V.Minin, O.V.Minin. Ultrafast all-optical THz modulation based on wavelength scaled dielectric particle with graphene monolayer. Proc. SPIE 11065, Saratov Fall Meeting 2018: Optical and Nano-Technologies for Biology and Medicine, 110651J (3 June 2019)
126. Y. Zhou, M. Hong. Formation of a three-dimensional bottle beam via an engineered microsphere. *Photonics Research* 9(8), 1598 (2021)
127. K. Dholakia, G. D. Bruce, Optical hooks. *Nature Photonics* 2019, 13, 4 229.
128. I. V. Minin and O. V. Minin, “Device for forming the optical trap in the form of the photonic hook,” Patent of Russia 161207 (27 October, 2015).
129. I. V. Minin and O. V. Minin. Recent Trends in Optical Manipulation Inspired by Mesoscale Photonics and Diffraction Optics // *J of Biomedical Photonics & Eng* 6(2), 020301 (2020)
130. L. Yue, O. V. Minin, Z. Wang, J. Monks, A. Shalin and I. V. Minin. Photonic hook: A new curved light beam. *Optics Letters* 43(4), 771 (2018).
131. M. Spector, A. S. Ang, O. V. Minin, I. V. Minin, A. Karabchevsky. Temperature mediated 'Photonic hook' nanoparticle manipulator with pulsed illumination. *Nanoscale Advances* 2020, **2(6)**, 2595-2601

132. O. V. Minin, I. V. Minin. *The Photonic Hook: From Optics to Acoustics and Plasmonics*. Springer, Cham 2021.
133. I. V. Minin, O. V. Minin, G. Katyba, N. Chernomyrdin, V. Kurlov, K. Zaytsev, L. Yue, Z. Wang, and D. N. Christodoulides. Experimental observation of a photonic hook. *APL*, 114(3), 031105 (2019).
134. M. Spector, A. S. Ang, O. V. Minin, I. V. Minin, A. Karabchevsky. Photonic hook formation in near-infrared with MXene Ti₃C₂ nanoparticles. *Nanoscale Advances* 2020,2, 5312-5318
135. Gu G, Shao L, Song J, Qu J, Zheng K, Shen X, et al. Photonic hooks from Janus microcylinders. *Opt Express* 2019;27:37771–80.
136. Geints YE, Minin IV, Minin OV. Tailoring ‘photonic hook’ from Janus dielectric microbar. *J Opt* 2020;22:065606.
137. G. Gu, P. Zhang, S. Chen, Y. Zhang, and H. Yang. Inflection point: a perspective on photonic nanojets. *Photonics Research* 9(7), 1157 (2021)
138. I. V. Minin, O. V. Minin, C.-Y. Liu, H.-D. Wei, Y. E. Geints, A. Karabchevsky, Experimental demonstration of tunable photonic hook by partially illuminated dielectric microcylinder. *Optics Letters* 2020, 45, 17 4899.
139. C.-Y. Liu; H.-J. Chung, O.V. Minin, I.V. Minin. Shaping photonic hook via well-controlled illumination of finite-size graded-index micro-ellipsoid. *Journal of optics* (2020) 22(8) 085002
140. V. Pacheco-Peña, J. A. Riley, C.-Y. Liu, O. V. Minin and I. V. Minin. Diffraction limited photonic hook via scattering and diffraction of dual-dielectric structures. *Sci Rep* (2021) 11:20278
141. A. Ang, A. Karabchevsky, I. V. Minin, O. V. Minin, S. Sukhov, and A. Shalin. ‘Photonic Hook’ based optomechanical nanoparticle manipulator. *Scientific Reports* 8:2029 (2018)
142. A. Ang, I. V. Minin, O. V. Minin, S. Sukhov, A. Shalin and A. Karabchevsky. Low-contrast photonic hook manipulator for cellular differentiation. In *META 2018, the 9th International Conference on Metamaterials, Photonic Crystals and Plasmonics*. France, 2018
143. Cipolla MJ. *The Cerebral Circulation*. San Rafael (CA): Morgan & Claypool Life Sciences; 2009. Chapter 6, Barriers of the CNS. Available from: <https://www.ncbi.nlm.nih.gov/books/NBK53084/>
144. I. V. Minin, O.V. Minin, Y.-Y. Liu, V. V. Tuchin, C.-Y. Liu. Concept of Photonic Hook Scalpel Generated by Shaped Fiber Tip with Asymmetric Radiation. *J Biophotonics* 14(2), 2021; e202000342
145. Y.E. Geints, O.V. Minin, L. Yue and I.V. Minin. Wavelength-scale photonic space switch proof-of-concept based on photonic hook effect. *Ann. Phys. (Berlin)* 533(9), 2100192 (2021)
146. Minin, I.V.; Shuvalov, G.V.; Minin, O.V. All-dielectric asymmetrical metasurfaces based on mesoscale dielectric particles with different optical transmissions in opposite directions through full internal reflection. In *Frontier Research and Innovation in Optoelectronics Technology and Industry*; CRC Press: Kunming, China, 2018; pp. 437–440.
147. Liu, C.-Y.; Minin, O.V.; Minin, I.V. First experimental observation of array of photonic jets from saw-tooth phase diffraction grating. *EPL (Europhys. Lett.)* 2018, 123, 54003.
148. S. Ge, W. Liu, J. Zhang, Y. Huang, Y. Xi, P. Yang, X. Sun, S. Li, D. Lin, S. Zhou, Y. Zhu, W. Li and Y. Yu. Novel Bilayer Micropyramid Structure Photonic Nanojet for Enhancing a Focused Optical Field. *Nanomaterials* 2021, 11, 2034.

149. Balezin, M.; Baryshnikova, K.V.; Kapitanova, P.; Evlyukhin, A.B. Electromagnetic properties of the Great Pyramid: First multipole resonances and energy concentration. *J. Appl. Phys.* **2018**, *124*, 034903.
150. Minin, I.V.; Minin, O.V.; Yue, L. Electromagnetic properties of Pyramids from positions of photonics. *Russ. Phys. J.* **2020**, *62*, 1763–1769.
151. J. A. Schuller, E. S. Barnard, W. Cai, Y. C. Jun, J. S. White, and M. L. Brongersma, Plasmonics for extreme light concentration and manipulation. *Nat. Mater.* **9**, 193 (2010).
152. C. Zhao, J. Zhang and Y. Liu. Light manipulation with encoded plasmonic nanostructures. *EPJ Applied Metamaterials*, *1*, 6 (2014)
153. D. Ju, H. Pei, Y. Jiang, and X. Sun, Controllable and enhanced nanojet effects excited by surface plasmon polariton. *Appl. Phys. Lett.* **102**, 171109 (2013).
154. V. Pacheco-Pena, I. V. Minin, O. V. Minin, and M. Beruete, Comprehensive analysis of photonic nanojets in 3D dielectric cuboids excited by surface plasmons. *Ann. Phys.* **528**, 684 (2016).
155. V. Pacheco-Peña, I. V. Minin, O. V. Minin, and M. Beruete, Increasing Surface Plasmons Propagation via Photonic Nanojets with Periodically Spaced 3D Dielectric Cuboids. *Photonics* **3**, 10 (2016).
156. I. V. Minin, O. V. Minin, I. Glinskiy, R. Khabibullin, R. Malureanu, A. Lavrinenko, D. Yakubovsky, V. Volcov, D. Ponomarev. Plasmonic nanojet: an experimental demonstration. *Optics Letters* **45**(12), 3244-3247 (2020)
157. J. D. Caldwell, L. Lindsay, V. Giannini, I. Vurgaftman, T. L. Reinecke, S. A. Maier and O. J. Glembocki. Low-loss, infrared and terahertz nanophotonics using surface phonon polaritons. *Nanophotonics* **2015**; *4*: 44–68
158. I. V. Minin, O. V. Minin, D. S. Ponomarev, and I. A. Glinskiy, Photonic hook plasmons: A new curved surface wave. *Ann. Phys.* **530**, 1800359 (2018).
159. I.V. Minin, O.V. Minin, I. Glinskiy, R. Khabibullin, R. Malureanu, A. Lavrinenko, D. Yakubovsky, V. Volcov, and D. Ponomarev. Experimental verification of a plasmonic hook in a dielectric Janus particle. *APL* **118**(13) 131107 (2021)
160. Y. Zhang, C. Min, X. Dou, X. Wang, H. P. Urbach, M. G. Somekh and X. Yuan. Plasmonic tweezers: for nanoscale optical trapping and beyond. *Light: Science & Applications* (2021) **10**:59
161. O.V.Minin and I.V.Minin. Acoustojet: acoustic analogue of photonic jet phenomenon based on penetrable 3D particle. *Optical and Quantum Electronics* **49-54** (2017).
162. J. H. Lopes, M. A. B. Andrade, J. P. Leao-Neto, J. C. Adamowski, I. V. Minin, and G. T. Silva, “Focusing acoustic beams with a ball shaped lens beyond the diffraction limit,” *Phys. Rev. Appl.* **8**(2), 024013 (2017).
163. I.V. Minin, O.V. Minin. 2018. Mesoscale acoustical cylindrical superlens. *MATEC Web of Conferences*, **155** article 201815501029
164. Tarrazo-Serrano D, Rubio C, Minin OV, Uris A, Minin IV. Ultrasonic focusing with mesoscale polymer cuboid. *Ultrasonics* **2020**;106:106143.
165. L. Zhao, T. Horiuchi, and M. Yu. Broadband ultra-long acoustic jet based on double-foci Luneburg lens. *JASA Express Lett.* **1**, 114001 (2021)
166. C. Rubio, D. Tarrázó-Serrano, O. V. Minin, A. Uris, I. V. Minin. Enhancement of pupil masked wavelength-scale gas-filled flat acoustic lens based on anomaly apodization effect. *Physics Letters A* **383**, 396–399 (2019)
167. C. Lu, R. Yu, K. Wang, J. Wang, and D. Wu. Tunable acoustic jet generated by a masked cylindrical lens. *Applied Physics Express* **13**, 097003 (2020)

168. I.V. Minin, O. V. Minin and I. Tseplyaev. The relationship between resonance scattering and the formation of an acoustojet under the interaction of ultrasound with a dielectric sphere immersed in water. *Journal of Physics: Conf. Series* 881, 012025 (2017)
169. C. Rubio, I. V. Minin, O. V. Minin, and A. Uris. Super-resonances in a dielectric mesoscale sphere immersed in water: effects in extreme field localization of acoustic wave. *Proc. Mtgs. Acoust.* 38, 070001 (2019)
170. Rubio C, Tarrazo-Serrano D, Minin OV, Uris A, Minin IV. Acoustical hooks: a new subwavelength self-bending beam. *Results Phys* 2020;16:102921.
171. X. Ren, Q. Zhou, Z. Xu, and X. Liu. Acoustic hook beam lens for particle trapping. *Applied Physics Express* 13, 064003 (2020)
172. S. Castiñeira-Ibáñez, D. Tarrazó-Serrano, A. Uris, C. Rubio, O. V. Minin, and I. V. Minin, Cylindrical 3D printed configurable ultrasonic lens for subwavelength focusing enhancement. *Sci Rep* 10, 20279 (2020).
173. S. Castineira-Ibanez, D. Tarrazo-Serrano, A. Uris, C. Rubio. Tunable acoustic hooks from Janus cylinder. *Results in Physics* 24 (2021) 104134
174. A. P. Sarvazyan, M. W. Urban, and J. F. Greenleaf, "Acoustic waves in medical imaging and diagnostics," *Ultrasound Med. Biol.* 39(7), 1133–1146 (2013).
175. R. Gorgin, Y. Luo, and Z. Wu, "Environmental and operational conditions effects on Lamb wave based structural health monitoring systems: A review," *Ultrasonics* 105, 106114 (2020).
176. J. Wang, D. Yurchenko, G. Hu, L. Zhao, L. Tang, and Y. Yang, "Perspectives in flow-induced vibration energy harvesting," *Appl. Phys. Lett.* 119(10), 100502 (2021).